



No. 1, 1385/2006 Spring & Summer



Mineral chemistry and whole rock geochemistry evidences of the differentiation in the Karaj Dam basement igneous rocks

D. Esmaeily, M.V. Valizadeh, Z. Noorolahi, A. Kananian

School of Geology, University College of Science, University of Tehran, Tehran,
Iran
E-mail: esmaili@khayam.ut.ac.ir

(Received:26/6/2005, received in revised form:7/2/2006)

Abstract: Igneous rocks of the Karaj Dam basement are mainly composed of gabbro, diorite and monzodiorite-monzonite which are locally penetrated by the quartz-monzonitic dikes. The upper and lower margins of the pluton, which has gabbroic composition, show porphyritic texture (chilled margin). The porphyritic texture in chilled margin gradually changes to the equigranular gabbro, diorite and monzodiorite-monzonite. The mineral chemistry (electron microprobe analysis) of the plagioclase and pyroxene in various rock samples from lower contact chilled towards the upper parts suggesting differentiation processes. The Mg[#] of the pyroxene and An% of plagioclase of the contact chilled samples can be used as an indication of the original magma and plotted between the gabbro and monzonitic samples. In addition, increasing of the Mg[#] within the whole rock samples from the upper of contact chilled, in comparison to the lower one, suggests elements differentiation by the gravity diffusion. Moreover, Na₂O, K₂O and incompatible elements increase and MgO, Fe₂O₃ (tot), CaO and compatible elements decrease with the progress of the magma differentiation. The samples in the Log Ni-Log La and Log Ni-Log Zr diagram plot almost as straight horizontal line, which confirms occurrence of the magma differentiation.

Keywords: differentiation, Karaj Dam, mineral chemistry, geochemistry, chilled margin, Iran.



شواهد شیمی-کانی‌شناسی و شیمی سنگ کل در تفریق سنگ‌های آذرین بنیان سد کرج

داریوش اسماعیلی، محمدولی ولی‌زاده، زینب نوراللهی، علی کعنایان

دانشکده زمین‌شناسی، پردیس علوم دانشگاه تهران
پست الکترونیکی: esmaili@khayam.ut.ac.ir

(دریافت مقاله ۱۳۸۴/۴/۵، دریافت نسخه نهایی ۱۳۸۴/۱۱/۱۸)

چکیده: سنگ‌های آذرین بنیان سد کرج بیشتر از گابرو، دیوریت و مونزودیوریت - مونزونیت تشکیل شده‌اند که به صورت موضعی به وسیلهٔ دایکهای تأخیری قطع شده‌اند. حاشیه‌های بالایی و پائینی این مجموعه دارای بافت پرفری (حاشیه انجاماد سریع) با ترکیب گابرویی بوده که از پائین به بالا به تدریج به گابرو همسان‌данه، دیوریت و سپس مونزودیوریت - مونزونیت تغییر می‌یابد. نتایج تجزیه شیمیایی الکترون میکروپرورب پلازیوکلازها و پیروکسن‌های انواع مختلف سنگ‌های مورد مطالعه از حاشیه پائینی به سمت بالا نشان دهنده یک فرایند تفریقی است، به طوری که نمونه‌های حاشیه انجاماد سریع که نشان دهنده ترکیب اصلی ماقمای اولیه است دارای Mg^+ (در پیروکسنها) و An % (در پلازیوکلازها) حدواتر نمونه‌های مونزونیتی و گابرویی هستند. به علاوه افزایش Mg^+ پیروکسن نمونه‌های حاشیه انجاماد سریع حاشیه بالایی نسبت به حاشیه پائینی مؤید تفریقی است به صورت انتشار گرانشی. همچنین با پیشروی تفریق، K_2O , Na_2O , Al_2O_3 , MgO , CaO , FeO , LogZr - LogLa - LogNi و LogNi در یک خط نسبتاً مستقیم و تقریباً افقی که نشانه فرایند تفریق است قرار می‌گیرند.

واژه‌های کلیدی: سد کرج - حاشیه انجاماد سریع - شیمی کانی‌شناسی - تفریق
ژئوشیمی.

مقدمه

منطقه مورد مطالعه در شمال شهرستان کرج و در محدوده جغرافیایی $50^{\circ} 50' \text{ تا } 51^{\circ} 15'$ طول شرقی و $35^{\circ} 35' \text{ تا } 36^{\circ} 50'$ عرض شمالی قرار دارد که جاده آسفالته کرج-چالوس نیز آنرا قطع می‌کند. منطقه سد کرج به دلیل موقعیت خاص زمین-شناسی و به ویژه وجود مقطع نمونه ائوسن در البرز (سازند کرج) همواره مورد توجه زمین‌شناسان ایرانی و خارجی بوده است. به عنوان مثال می‌توان به کارهای ریویر [۱]، بیلی و همکاران [۲]، گانسر [۳]، دلباخ [۴]، زرعیان - فیاض [۵]، و ددوال [۶]، اشاره کرد. از نظر چینه‌شناسی مقالات ریویر را می‌توان مقالات اساسی و راهنمای مناسبی به حساب آورد. مقاله زرعیان- فیاض [۵] نیز توصیف صرفاً سنگ‌شناسانه‌ای است از توده سنگ‌های آذرین منطقه، و رساله دکتری ددوال [۶] توصیف کننده سازند کرج است. ولی‌زاده [۷] و نوراللهی [۸] نیز به بررسی سنگ‌شناختی و ژئوشیمی سنگ‌های آذرین بنیان سد کرج پرداخته‌اند.

هدف از این پژوهش بررسی فرایند تفریق درسنگ‌های آذرین این منطقه با استفاده از داده‌های صحراوی، کانی‌شناسی، بافتی و نتایج تجزیه الکترون میکروپرورب کانیهای پیروکسن و پلازیوکلاز و شیمی سنگ کل است.

زمین‌شناسی عمومی

سنگ‌های آذرین بنیان سد کرج بخشی از چارگوش نقشه زمین‌شناسی ۱:۲۵۰۰۰۰ شمال غرب تهران و ۱:۱۰۰۰۰۰ شمال غربی کرج را به خود اختصاص داده‌اند. از نظر چینه‌شناسی این سنگ‌ها در حد فاصل عضوهای توف میانی و توف بالایی سازند از کرج که خود به صورت ناپیوسته‌ای روی تنه‌نشسته‌های لیاس (سازند شمشک) و زیر کنگلومراهای سرخ نئوزن قرار دارد، تزریق شده‌اند (شکل ۱). چشمگیرترین گسل موجود در منطقه گسلی است واقع در شمال محور ناویدیس آدران و تقریباً به موازات آن که از ده خوزان کلاو و جنوب ده بريانچال می‌گذرد.

سنگ‌شناسی توصیفی و کانی‌شناسی

با توجه به مشاهدات صحراوی و سنگ‌شناسی، سنگ‌های آذرین توده نفوذی بنیان سد کرج از حاشیه پائینی به سمت بالا، به بخش‌های حاشیه انجماد سریع (گابروی پرفیری) پائینی، گابرو، دیوریت، مونزونیت و سپس حاشیه انجماد سریع (گابروی پرفیری) بالایی قابل تقسیم‌اند.

گابروی پرفیری (HASHIYE ANJEMAD SERIYU)

این سنگ‌ها در کرانه‌های بالایی و پایینی توده نفوذی بنیان سد کرج قرار دارند و معمولاً نسبت به توده اصلی تیره‌تر بوده و در نمونه دستی بلورهای پلازیوکلاز کلسیک

در یک متن ریزدانهٔ خاکستری تیره مشاهده می‌شوند. زیر میکروسکوپ بافت اصلی این سنگها پرفیری دیده می‌شوند و بلورهای درشت خودشکل تا نیمه شکل دار پلازیوکلاز و پیروکسن در یک زمینهٔ ریزدانهٔ متشکل ازمیکرولیت‌های پلازیوکلاز و ریزدانه‌های پیروکسن قرار گرفته‌اند (شکل ۲A). این سنگها به سمت داخل، درشت‌دانه و به تدریج دانه‌ها با بافت همسان‌دانه دیده می‌شوند.

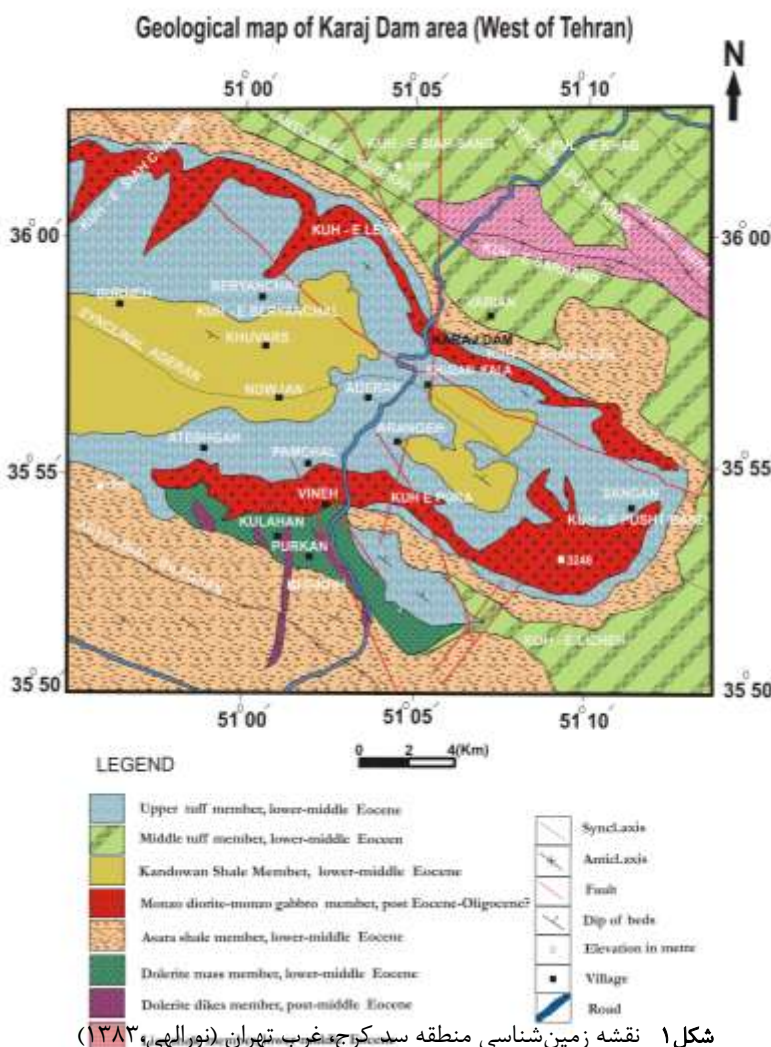
پلازیوکلاز با ماکل تکراری و دوتایی تکراری (آلبیت-کارلسbad) در حدود ۴۵٪ متن سنگ را تشکیل داده است. اندازهٔ این کانی‌ها در زمینهٔ ریز بلور در حدود ۰.۵ میلیمتر و درشت بلورهای آن به ۵ میلیمتر می‌رسد. بر اساس نتایج آنالیز میکروپروروب الکترونی (جدول ۱) ترکیب پلازیوکلازها در حد لابرادوریت-آنذزین (An_{62/81}-Fs_{56/10}) است. پیروکسن به صورت خودشکل و نیمهٔ شکل دار و در مواردی ماکل دار دیده می‌شود. این کانی از نوع اوژیت است و فراوانی آن به ۲۵٪ حجمی می‌رسد. بر اساس نتایج آنالیز میکروپروروب الکترونی، ترکیب این کانی در حد (Wo_{35.47} En_{37.39} Fs_{27.14} 43.49) است (جدول ۲ و شکل ۴). به نظر می‌رسد که کرانه‌های گرد شدهٔ این کانی در اثر واکنش با آبغون اطراف در اوایل زمان تزریق توده و رشته‌های ظریف اورالیت و کلریت نیز حاصل دگرسانی آن باشند. همچنین دانه‌های خودشکل الیوین ایدنگسیتی شده به همراه دانه‌های کوچک کوارتز به صورت متضاد با هم در متن سنگ مشاهده می‌شوند که نشانهٔ فرایند تبلور نامتعادل در حالت انجاماد سریع است. آپاتیت، اسفن و کانی‌های کدر اجزای فرعی و کلریت، کلسیت، اکسید آهن، سریسیت، اپیدوت و پرهنیت به عنوان کانی‌های دگرسان این سنگها محسوب می‌شوند.

بخش گابربوی

این سنگ‌ها با رنگ تیره و بافت همسان‌دانه در بخش زیرین توده و بلافصله بالای بخش گابربوی پرفیری (انجماد سریع) قرار دارند و مرز آنها کاملاً تدریجی است. کانی‌های کدر اصلی به ترتیب فراوانی شامل پلازیوکلاز و پیروکسن و کانی‌های فرعی شامل آپاتیت، اسفن، اپک و به ندرت آکالی فلدسپار و بیوتیت هستند (شکل ۲B).

پلازیوکلاز در حدود ۶۰ درصد از حجم سنگ را اشغال کرده و اندازهٔ آن تا ۶ میلی‌متر می‌رسد که نشانگر زمان مناسب برای تبلور آن است. این کانی گاهی دارای منطقه‌بندی عادی است که می‌تواند گویای تزریق ماغما به اعمق‌کم و سرعت بالای تبلور باشد. بر اساس نتایج آنالیز میکروپروروب الکترونی (جدول ۲) ترکیب پلازیوکلازها در حد بیتونیت و لابرادوریت (An_{67/33-82/31}) است. حضور پلازیوکلاز به صورت ورودی پیروکسن، نشانگر تقدم تبلور این کانی نسبت به پیروکسن و درصد بالای کلسیم آن است. این کانی خصوصاً در بخش مرکزی به اپیدوت، کلسیت،

ایدوت و کلریت تجزیه شده و علاوه بر سوسوریتی شدن گاهی تحت تاثیر پرهنیت‌زایی نیز واقع شده است. پیروکسن به صورت بلورهای نیمه شکل دار با خاموشی مایل (45°) دیده می‌شود و بر اساس نتایج آنالیز میکروپریوب الکترونی (جدول ۱ و شکل ۴) ترکیب آن در حد $(Wo_{42.41} En_{44.49} Fs_{12.25} 14.45)$ است. حداکثر قطر بلورهای این کانی به ۳ میلی‌متر می‌رسد و گاهی به وسیله اورالیت، بیوتیت، کلریت، کلسیت و اکسید آهن جانشین شده است. همانند سنگ‌های بخش حاشیه انجماد سریع، کانی‌های کدر، آپاتیت و اسفن اجزای فرعی این سنگها را تشکیل می‌دهند.

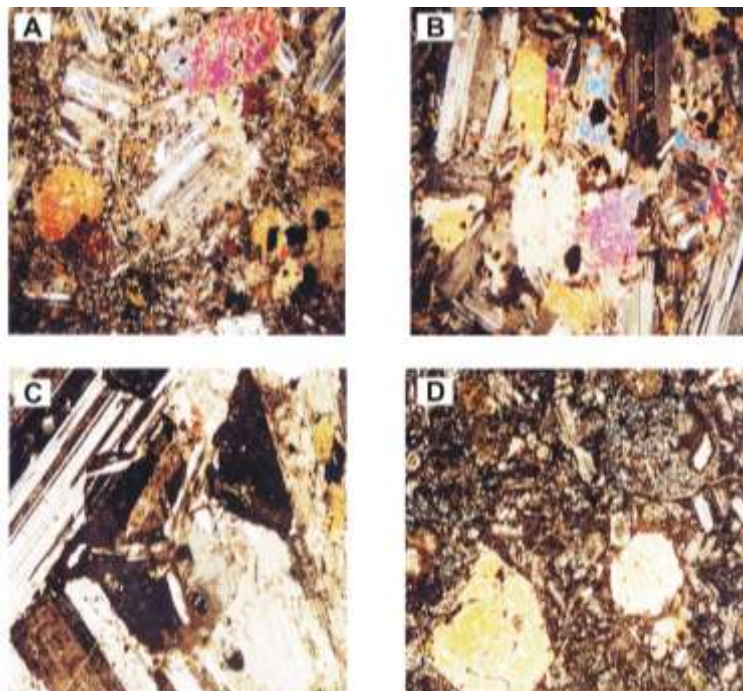


جدول ۱ نتایج آنالیز میکروپریوب الکترونی پیروکسن واحدهای مختلف توده نفوذی منطقه سد کرج.
عناصر اصلی بر حسب درصد وزنی و عناصر کمیاب بر حسب ppm اند.

	SiO ₂	TiO ₂	Al ₂ O ₃	FeO	MnO	MgO	CaO	Na ₂ O	K ₂ O	Cr ₂ O ₃	total	Wo%	En%	Fs%	Mg#
۱- آنالیز گل‌بینده	۵۲/۱۳	۰/۵۰	۰/۸۹	۱۲/۸۷	۰/۴۵	۱۱/۳۳	۲۰/۹۴	۰/۶۴	۰/۰۸	۰/۰۰	۹۹/۸۳	۴۵/۴۶	۳۴/۱۷	۲۰/۴۷	۶۲/۵۴
	۵۰/۳۷	۰/۸۰	۳/۰۴	۱۰/۶۵	۰/۰۰	۱۴/۴۹	۱۹/۰	۰/۲۴	۰/۰۰	۰/۰۰	۹۹/۰۹	۴۱/۷۶	۴۳/۱۹	۱۵/۰۵	۷۴/۱۵
	۵۴/۱۰	۰/۶۷	۳/۱۱	۹/۵۸	۰/۰۰	۱۳/۴۸	۱۷/۸۰	۰/۲۱	۰/۰۲	۰/۰۰	۹۸/۹۶	۳۵/۴۷	۳۷/۳۹	۲۷/۱۴	۵۷/۹۴
	۵۰/۶۷	۰/۷۶	۳/۰۴	۱۰/۶۲	۰/۰۰	۱۴/۳۱	۱۹/۶۹	۰/۳۰	۰/۰۰	۰/۰۰	۹۹/۳۹	۴۲/۱۲	۴۲/۶۰	۱۵/۲۸	۷۳/۶۰
	۵۰/۱۹	۰/۸۷	۳/۰۵	۱۰/۷۲	۰/۰۰	۱۴/۳۱	۱۹/۶۵	۰/۳۳	۰/۰۰	۰/۰۰	۹۹/۸۱	۴۱/۸۸	۴۲/۴۳	۱۵/۶۹	۷۳/۰۱
	۵۱/۱۱	۰/۸۳	۲/۹۱	۱۰/۸۱	۰/۰۰	۱۴/۳۲	۱۹/۵۷	۰/۲۷	۰/۰۰	۰/۰۰	۹۹/۹۳	۴۱/۲۸	۴۲/۰۳	۱۶/۸۹	۷۱/۰۷
	۵۱/۰۵	۰/۸۱	۳/۱۴	۱/۱۵	۰/۰۰	۱۴/۴۷	۱۸/۹۴	۰/۲۵	۰/۰۰	۰/۰۰	۹۹/۸۰	۴۰/۰۳	۴۲/۵۶	۱۷/۴۱	۷۰/۹۷
	۵۰/۵۷	۰/۸۴	۳/۰۶	۱۱/۰۳	۰/۰۰	۱۴/۶۰	۱۹/۵۴	۰/۲۷	۰/۰۰	۰/۰۰	۹۹/۹۲	۴۱/۷۵	۴۳/۴۰	۱۴/۸۵	۷۴/۰۵
	۵۰/۰۴	۰/۸۵	۳/۲۸	۱۱/۲۵	۰/۰۰	۱۴/۴۵	۱۸/۶۶	۰/۳۴	۰/۰۰	۰/۰۰	۹۹/۴۷	۴۰/۱۰	۴۳/۴۹	۱۶/۴۱	۷۲/۶۰
	۵۲/۱۳	۰/۱۵	۰/۱۸۹	۱۲/۱۱	۰/۴۵	۱۱/۳۳	۲۰/۹۴	۰/۶۴	۰/۰۸	۰/۰۰	۹۹/۰۷	۴۵/۳۸	۳۴/۱۷	۲۰/۴۶	۶۲/۰۵
۲- آنالیز گل‌بینده	۵۱/۳۵	۰/۸۱	۲/۶	۹/۵۱	۰/۲۶	۱۴/۵	۲۰/۶۸	۰/۲۸	۰/۰۰	۰/۰۱	۱۰۰/۳۵	۴۳/۷۶	۴۳/۷۲	۱۲/۰۲	۷۷/۷۴
	۵۱/۷۶	۰/۸۸	۲/۴۸	۹/۵۰	۰/۲۸	۱۴/۵۸	۲۱/۲۲	۰/۲۶	۰/۰۰	۰/۰۴	۱۰۰/۹۹	۴۴/۴۲	۴۲/۴۶	۱۳/۱۲	۷۶/۳۹
	۵۱/۹۰	۰/۶۵	۱/۸۸	۹/۶۴	۰/۰۰	۱۴/۵۵	۲۱/۴۰	۰/۱۳	۰/۰۱	۰/۰۰	۱۰۰/۱۶	۴۴/۲۱	۴۱/۸۲	۱۳/۹۸	۷۴/۹۵
	۵۱/۰۹	۰/۷۶	۲/۵۹	۹/۹۰	۰/۳۴	۱۴/۲۹	۲۰/۸۷	۰/۲۷	۰/۰۲	۰/۰۴	۱۰۰/۱۸	۴۴/۴۹	۴۲/۲۸	۱۳/۱۳	۷۶/۴۵
	۵۱/۵۱	۰/۹۱	۲/۹۸	۸/۴۵	۰/۳۴	۱۴/۷۶	۲۰/۵۵	۰/۲	۰/۰۲	۰/۰۳	۹۹/۷۵	۴۳/۱۰	۴۳/۰۸	۱۳/۸۲	۷۵/۷۱
	۵۱/۳۵	۰/۸۱	۲/۶	۷/۵۸	۰/۲۶	۱۴/۸۵	۲۰/۶۸	۰/۲۸	۰/۰۰	۰/۰۱	۹۸/۴۲	۴۳/۷۴	۴۳/۷۱	۱۲/۰۶	۷۷/۶۸
	۵۱/۷۶	۰/۸۸	۲/۴۸	۸/۰۴	۰/۲۸	۱۴/۵۸	۲۱/۲۲	۰/۲۶	۰/۰۰	۰/۰۴	۹۹/۵۴	۴۴/۴۲	۴۲/۴۷	۱۳/۱۱	۷۶/۴۲
	۵۱/۲۱	۰/۸۴	۲/۸۰	۸/۷۶	۰/۴۲	۱۴/۶۶	۲۰/۰۳	۰/۲۳	۰/۰۱	۰/۰۱	۹۸/۹۷	۴۲/۲۱	۴۳/۱۴	۱۴/۴۵	۷۶/۹۱
	۵۱/۱۵	۰/۷۷	۲/۷۸	۸/۲۹	۰/۳۴	۱۴/۶۶	۲۰/۰۳	۰/۲۸	۰/۰۰	۰/۰۰	۹۸/۷۵	۴۳/۰۲	۴۳/۲۳	۱۳/۷۵	۷۵/۸۷
	۵۱/۰۹	۰/۷۶	۲/۵۹	۷/۹	۰/۳۴	۱۴/۲۹	۲۰/۸۷	۰/۲۷	۰/۰۲	۰/۰۴	۹۸/۱۷	۴۴/۴۷	۴۲/۳۷	۱۳/۱۵	۷۶/۳۱
۳- آنالیز گل‌بینده	۴۸/۴۲	۰/۴۳	۳/۲۲	۲۲/۴۴	۰/۵۸	۸/۰۵	۱۰/۳۹	۰/۹۹	۰/۲۶	۰/۰۰	۹۶/۴۸	۲۵/۰۹	۲۹/۳۱	۴۰/۱۰	۳۹/۳۸
	۴۹/۵۸	۰/۳	۲/۰۳	۲۲/۷۱	۰/۵۴	۹/۸	۹/۶۷	۰/۸۱	۰/۱۸	۰/۰۰	۹۶/۸۹	۲۲/۰۱	۳۱/۷۵	۴۰/۷۴	۴۰/۹۷
	۵۱/۰	۰/۱۷	۱/۷	۲۲/۰۳	۰/۳۲	۸/۶۵	۱۱/۶۷	۰/۴۶	۰/۲۸	۰/۰۰	۹۷/۹۳	۲۵/۰۱	۲۶/۳۱	۴۸/۱۸	۳۵/۳۲
	۴۹/۷۲	۰/۲۲	۱/۸۶	۲۲/۱۱	۰/۴۹	۸/۸۱	۹/۶۷	۰/۷۱	۰/۱۷	۰/۰۳	۹۳/۷۹	۲۲/۳۸	۲۸/۳۸	۴۹/۲۴	۳۶/۵۶
	۴۸/۴۲	۰/۴۳	۳/۳۲	۲۴/۲۲	۰/۵۸	۸/۰۵	۱۰/۳۹	۰/۹۹	۰/۳۶	۰/۰۰	۹۷/۲۷	۲۵/۶۱	۲۹/۳۲	۴۰/۰۸	۳۹/۴۱
	۴۹/۸۴	۰/۳۰	۲/۰۳	۲۲/۷۱	۰/۵۴	۹/۸۰	۹/۶۷	۰/۸۱	۰/۱۸	۰/۰۰	۹۶/۹۰	۲۲/۰۳	۳۱/۷۷	۴۰/۰۷	۴۱/۰۱
	۵۱/۶۵	۰/۱۷	۱/۷۰	۲۲/۰۳	۰/۳۲	۸/۶۵	۱۱/۶۷	۰/۴۶	۰/۲۸	۰/۰۰	۹۷/۹۳	۲۵/۰۱	۲۶/۳۱	۴۸/۱۹	۳۵/۳۱
	۴۹/۷۱	۰/۲۲	۱/۸۶	۲۲/۱۱	۰/۴۹	۸/۸۱	۹/۶۷	۰/۷۱	۰/۱۷	۰/۰۳	۹۳/۷۸	۲۲/۲۸	۲۸/۳۷	۴۹/۲۵	۳۶/۵۵
	۴۲/۹۹	۰/۱۱	۳/۳۵	۲۲/۷۴	۰/۴۱	۷/۵۰	۹/۶۵	۰/۰۴	۰/۰۳	۰/۰۲	۹۷/۸۴	۱۹/۷۰	۲۱/۳۱	۵۹/۰۰	۲۶/۰۳
	۵۰/۸۰	۰/۹۸	۲/۴۹	۲۲/۳۸	۰/۴۸	۸/۹۴	۱۰/۷۷	۰/۲۰	۰/۰۱	۰/۰۱	۹۸/۰۶	۲۲/۹۶	۲۶/۴۹	۵۰/۰۵	۳۴/۳۹

جدول ۲ آنالیز میکروپروروب الکترونی فلدسپار واحدهای مختلف توده نفوذی منطقه سد کرج، عناصر اصلی بر حسب درصد وزنی و عناصر کمیاب بر حسب ppm اند.

	SiO ₂	Al ₂ O ₃	CaO	Na ₂ O	K ₂ O	Total	Or	Ab	An
ج	۵۴,۳۴	۲۷,۸۹	۱۱,۹۰	۳,۹۵	۰,۹۶	۹۹,۶۵	۵,۶۷	۳۵,۴۰	۵۸,۹۳
	۵۲,۶۵	۲۸,۸۶	۱۲,۹۵	۳,۷۷	۰,۷۷	۹۹,۶۹	۴,۴۳	۳۲,۹۹	۶۲,۵۹
	۵۳,۵۹	۲۷,۹۱	۹,۳۲	۴,۰۷	۲,۳۲	۹۸,۲۰	۱۴,۱۹	۳۷,۸۹	۴۷,۹۳
	۵۱,۵۸	۲۸,۳۴	۱۲,۹۹	۳,۷۴	۰,۸۲	۹۸,۲۱	۴,۷۱	۳۲,۶۲	۶۲,۶۷
	۵۱,۶۰	۲۷,۸۳	۱۲,۵۵	۴,۰۵	۰,۸۹	۹۷,۸۳	۵,۰۴	۳۵,۰۲	۵۹,۹۴
	۵۱,۳۴	۲۸,۰۶	۱۲,۸۹	۳,۹۲	۰,۷۳	۹۷,۷۷	۴,۱۵	۳۴,۰۵	۶۱,۸۱
	۵۲,۵۰	۲۷,۶۷	۱۲,۰۳	۴,۰۳	۰,۹۵	۹۷,۹۰	۵,۰۴	۳۵,۶۴	۵۸,۸۲
	۵۱,۷۸	۲۷,۷۰	۱۲,۶۰	۳,۸۰	۰,۸۱	۹۷,۴۷	۴,۷۱	۳۳,۶۵	۶۱,۶۳
	۵۱,۳۹	۲۷,۸۱	۱۲,۷۱	۳,۷۷	۰,۸۴	۹۷,۳۳	۴,۸۴	۳۳,۲۵	۶۱,۹۰
	۶۰,۱۶	۲۳,۱۷	۱۰,۴۴	۳,۰۲	۰,۶۱	۹۸,۲۰	۴,۳۵	۳۲,۸۴	۶۲,۸۱
ب	۵۰,۸۱	۲۴,۷۴	۱۴,۱۲	۰,۰۰	۰,۰۰	۹۱,۴۳	۰,۰۰۱	۰,۰۰۳	۹۹,۹۹۷
	۵۲,۷۶	۲۹,۱۷	۱۳,۰۳	۳,۹۴	۰,۴۹	۱۰۰,۰۸	۲,۷۸۸	۳۴,۴۱۳	۶۲,۸۰۰
	۵۳,۰۲	۲۸,۸۱	۱۲,۸۹	۳,۹۸	۰,۵۰	۹۹,۹۵	۲,۸۹۹	۳۴,۸۱۰	۶۴,۲۹۱
	۵۲,۹۹	۲۸,۶۸	۱۳,۰۱	۴,۰۶	۰,۴۳	۹۹,۹۵	۲,۴۷۰	۳۵,۱۷۱	۶۲,۳۵۹
	۵۲,۹۴	۲۸,۶۷	۱۲,۷۳	۳,۹۳	۰,۴۳	۹۹,۴۲	۲,۵۰۵	۳۴,۹۳۱	۶۲,۵۶۴
	۵۳,۷۶	۲۸,۲۸	۱۲,۰۸	۴,۶۴	۰,۳۴	۹۹,۶۰	۱,۹۶۴	۴۰,۲۰۹	۵۷,۸۲۷
	۵۱,۰۵	۳۰,۴۲	۱۴,۳۵	۳,۵۸	۰,۱۳	۱۰۰,۱۵	۰,۷۵۷	۳۰,۱۸۴	۶۸,۲۸۹
	۴۴,۴۱	۲۸,۴۵	۱۶,۱۶	۲,۰۴	۱,۹۱	۹۴,۶۳	۱۰,۲۹۰	۱۶,۶۶۷	۷۳,۴۳
	۵۳,۴۹	۲۸,۰۵	۱۲,۰۳	۴,۱۱	۰,۵۶	۹۹,۶۷	۳,۲۶۸	۳۶,۴۵۱	۶۰,۲۸۱
	۵۲,۷۷	۲۹,۱۷	۱۳,۰۳	۳,۹۴	۰,۴۹	۱۰۰,۱۳	۲,۸۱۲	۳۴,۳۷۲	۶۲,۸۱۵
ب	۵۳,۰۳	۲۸,۸۱	۱۲,۸۹	۳,۹۸	۰,۵	۹۹,۹۹	۲,۸۷۸	۳۴,۸۱۵	۶۲,۲۰۸
	۵۲,۹۹	۲۸,۶۹	۱۳,۰۱	۴,۰۶	۰,۴۳	۹۹,۹۹	۲,۴۵۳	۳۵,۲۰۶	۶۲,۳۴۱
	۵۲,۹۴	۲۸,۶۷	۱۲,۷۳	۳,۹۳	۰,۴۳	۹۹,۴۹	۲,۵۱۵	۳۴,۹۴۱	۶۲,۵۴۴
	۵۳,۷۶	۲۸,۲۸	۱۲,۰۸	۴,۶۴	۰,۳۴	۹۹,۶۰	۱,۹۳۹	۴,۱۱۱	۵۷,۸۵۰
	۵۱,۰۵	۲۷,۷۲	۱۴,۳۵	۳,۵۸	۰,۱۳	۹۷,۴۹	۰,۷۳۸	۳۰,۱۷۴	۶۲,۳۸۸
	۶۳,۴۵	۱۷,۵۲	-۰,۰۷	-۰,۴۷	۱۵,۰۳	۹۶,۷۰	۹۵,۱۱	۴,۵۲	-۰,۱۷
	۶۲,۰۱	۱۷,۰۰	-۰,۰۱	-۰,۹۵	۱۶,۰۲	۹۶,۰۱	۹۱,۷۰	۸,۲۶	-۰,۰۴
	۶۳,۰۵	۱۷,۵۴	-۰,۰۸	۱,۰۰	۱۵,۰۵	۹۷,۹۶	۹۰,۶۷	۸,۹۲	-۰,۴۱
	۶۳,۴۴	۱۷,۵۲	-۰,۰۷	-۰,۴۷	۱۵,۰۳	۹۶,۶۸	۹۵,۱۳	۴,۵۲	-۰,۳۵
	۶۲,۱۳	۱۶,۰۵	-۰,۰۰	-۰,۵۴	۱۷,۰۱	۹۶,۱۸	۹۵,۳۸	۴,۶۰	-۰,۰۱
ب	۶۴,۰۰	۱۵,۹۵	-۰,۰۵	-۰,۹۲	۱۶,۹۸	۹۷,۹۰	۹۲,۱۷	۷,۵۹	-۰,۲۴
	۶۳,۹۵	۱۷,۲۲	-۰,۰۱	۲,۴۰	۱۶,۵۶	۱۰۰,۱۵	۸۱,۹۰	۱۸,۰۴	-۰,۰۶
	۶۲,۹۷	۱۶,۰۱	-۰,۰۵	-۰,۷۰	۱۷,۰۰	۹۶,۷۲	۹۳,۸۹	۵,۸۸	-۰,۲۳
	۶۴,۵	۲۳,۰۱	-۰,۷۸	۹,۱۰	۲,۱۷	۹۹,۷۴	۱۳,۰۴	۸۳,۱۰	۳,۸۶
	۶۸,۳	۱۹,۱۱	-۰,۱۰	۱۱,۳۳	-۰,۱۷	۹۹,۵۳	۱,۰۰	۹۸,۵۵	-۰,۴۶
	۶۵,۶۵	۱۸,۴۷	-۰,۴۵	۱۰,۹۷	-۰,۵۷	۹۶,۱۳	۲,۲۵	۹۴,۶۱	۲,۱۴
	۶۷,۰۸	۱۸,۵۸	-۰,۲۵	۱۱,۴۷	-۰,۰۷	۹۷,۴۷	-۰,۳۸	۹۸,۴۵	۱,۱۷
	۶۸,۱۱	۱۹,۱۵	-۰,۳۹	۱۱,۱۵	-۰,۳۹	۹۹,۳۹	۲,۲۳	۹۵,۹۳	۱,۱۴
	۶۸,۸۸	۱۹,۳۲	-۰,۴۰	۱۱,۷۴	-۰,۰۸	۱۰۰,۴۶	-۰,۴۳	۹۷,۷۱	۱,۱۶
	۶۸,۷۰	۱۹,۱۰	-۰,۵۴	۱۰,۱۵	۲,۳۱	۱۰۰,۸۳	۱۲,۷۰	۸۴,۸۱	۲,۱۹



شکل ۲ مقاطع نازک نمونه‌های نماینده واحدهای مختلف سنگ‌های آذرین سد کرج: (A) گابرو پرفیری حاشیه انجاماد سریع، (B) گابروی دانه درشت، (C) مونزونیت، (D) دولریت.

بخش دیوریتی

دیوریتها پس از بخش گابرویی به تدریج از کرانه زیرین توده به سمت بخش‌های بالاتر توده، ظاهر می‌شوند. پلاژیوکلاز، پیروکسن و تا حدودی آمفیبول اجزای اصلی و آپاتیت، اسفن، اپک، بیوتیت، و آلکالی‌فلدسبار کانی‌های فرعی این سنگ‌ها را تشکیل می‌دهند. به علاوه کوارتز نیز به میزان اندک به صورت بافت میرمیکیتی و گرافیکی، پلاژیوکلازها را همراهی می‌کند. این سنگ‌ها در مقاطع میکروسکوپی دارای بافت درشت دانه (گرانولار) بوده و اغلب بلورها بیش از ۵ میلی‌متر قطر دارند.

بخش مونزونیتی

بخش مونزونیتی پس از بخش دیوریتی و در بخش بالایی این توده سنگ آذرین قرار دارد و در اصل محصول پایانی تفرقی است. بافت آنها گرانولار و بلورهای پلاژیوکلاز و آلکالی‌فلدسبار صورتی رنگ (ارتوز) اجزای اصلی آنها را تشکیل می‌دهند (شکل ۲C). پلاژیوکلاز با زاویه خاموشی 10° - 20° در حد الیگوکلاز - آلبیت (An_{30}) تشخیص داده شده است که نتایج آنالیز میکروپرورب الکترونی (جدول ۲) نیز آنرا تائید می‌کند ($An_{0.01-24.59}$). ارتوز دومین تشکیل دهنده اصلی مونزونیت‌هاست که به صورت نیمه شکل‌دار تا بی شکل بوده و اغلب به کائولینیت دگرسان و سطح آن کم و بیش به حالت کدر است. به اعتقاد دیر و همکاران [۹] حالت کدر و

قهوهای رنگ فلدسپارها تنها در اثر تشکیل کانی‌های کائولینیت نیست، بلکه گاهی وجود واکوئول‌های سرشار از آبگونی که در اثر فعالیت‌های گرمابی یا حتی در اثر هوازدگی تشکیل می‌شوند حالت قهوهای مات به کانی می‌دهد. کانی‌های فرومیزین این سنگ نسبت به انواع تفریق نیافنه‌تر بسیار کمتر بوده و کانی‌های هورنبلند و بیوتیت فراوان‌تر از پیروکسن‌اند. بر اساس نتایج آنالیز میکروپریوب الکترونی (جدول ۱ و شکل ۴) ترکیب پیروکسن در بخش مونزونیتی در حد ($W_{O_{19.70}}^{59.00} E_{n_{21.31}}^{31.77} F_{s_{45.10}}^{25.61}$) است. بیوتیت به صورت اولیه و ثانویه در این سنگها وجود دارد و روی هم رفته میانگین آن ۶٪ حجمی سنگ را به خود اختصاص می‌دهد. کانی‌های کدر، کوارتنز، آپاتیت و زیرکن از کانی‌های فرعی این سنگ محسوب می‌شوند.

دایک‌های تأخیری

دایک‌های تأخیری چندی با ترکیب مونزونیت تا مونزونیت کوارتزدار توده نفوذی بنیان سد کرج را در برخی از مناطق قطع کرده‌اند. این سنگ‌ها در نمونه دستی با رنگ روشن و بافت تأخیری حاوی فنوکریست‌هایی از آلکالی‌فلدسپار در زمینه‌ای ریزدانه قابل مشاهده هستند. این دایک‌ها در واقع محصول انجامداد شاره باقی مانده در پایان انجامداد توده است که درز و ترکهای حاصل از انقباض ناشی از انجامداد و سرد شدن توده را پر کرده است. به طور کلی دایک‌های تأخیری در منطقه نادرند و سایر فازهای نهایی ماقمایی مثل پگماتیت‌ها نیز در این مجموعه مشاهده نشده‌اند.

مجموعه سنگ‌های دلریتی

سنگ‌های دلریتی در منطقه به دو صورت استوک و دایک دیده می‌شوند. استوک دلریتی نسبت به توده نفوذی بنیان سد کرج بسیار کوچکتر است و در بخش زیرین شاخه جنوبی آن قرار دارد. توده آذرین نفوذی اصلی در محل، در کنار استوک دلریتی مذکور به وضوح دارای حاشیه انجامداد سریع است. از طرفی وجود آنکلاوهایی از جنس دلریت -که اثرهای آن به صورت کروی یا بیضوی با قطر تا ۵۰ سانتی‌متر در توده نفوذی اصلی قابل مشاهده‌اند- نشانگر قدمت بیشتر آنها نسبت به توده نفوذی بنیان سد کرج است. سرشت این استوک دلریتی به گونه‌ای است که در مقایسه با سنگ‌های توده اصلی بیشتر تحت تأثیر هوازدگی و فرسایش قرار گرفته است و در نتیجه از لحاظ ریخت‌شناسی، توپوگرافی نسبتاً کم ارتقاء‌تری را تشکیل می‌دهند. دایک‌های دلریتی که حداقل ضخامت آنها در منطقه به ۲ متر می‌رسد، بیشتر توده دلریتی و سنگ‌های آتش‌شانی پیرو کلاستیک سازند کرج را قطع کرده ولی اثری از آنها در سنگ‌های آذرین بنیان سد کرج دیده نمی‌شود. این سنگها زیر میکروسکوپ دارای بافت اینترسرتال یا هیالومیکرولیتی پرفیری بوده و کانی‌های اصلی آن را اوژیت و پلازیوکلاز تشکیل می‌دهند (شکل ۲D). خمیره شیشه‌ای این سنگ‌ها بیشتر

کلریتی شده است. کانی های کدر، آپاتیت و اسفن اجزای فرعی و سریسیت، آلیت نئوفورمه، اکسید آهن، پرهنیت، کلریت و اپیدوت کانی های ثانویه این سنگها را تشکیل می‌دهند.

روش آزمایشگاهی

برای بررسیهای سنگ شناختی و ژئوشیمی، چهارده نمونه از عناصر اصلی و کمیاب بخش‌های مختلف مورد توده نفوذی بنیان سد کرج و سنگ‌های دریتی انتخاب و در آزمایشگاه ژئوشیمی SGS کانادا به روش ICP (Inductively Coupled Plasma) و MS-ICP مورد تجزیه و تحلیل قرار گرفتند. تعداد ۲۵۰ نقطه از انواع کانی‌های تشکیل دهنده سنگ‌های مختلف مطالعه به وسیله دستگاه میکروپروروب الکترونی Came box SX50 در آزمایشگاه کانی‌شناسی دانشگاه پول ساپاتیه شهرتولوز فرانسه آنالیز شدند. شتاب ولتاژ دستگاه ۱۵KV و طیف جریان ۱۵NA و زمان شمارش بسته به نوع عنصر بین ۶ و ۲۵ ثانیه بوده است.

تلفیق اطلاعات و رسمن نقشه‌های با استفاده از نرم افزار PHOTO SHOPE 7.Me, COREL 11.0 و پردازش آماری و بررسی‌های سنگ شناختی و ژئوشیمیایی، با نرم‌افزارهای NEW PET, IG PET, WORD, EXELL 7.0 صورت گرفته است.

شیمی کانی‌ها

به منظور بررسی دقیق رفتار ژئوشیمی عناصر مختلف در ساختار کانی‌ها و تکمیل مطالعات صحرایی، سنگ‌شناسی و ژئوشیمیایی سنگ‌های نفوذی بنیان سد کرج، ۲۴ مقطع نازک-صیقلی تهیه و سپس تعداد ۲۵۰ نقطه از کانی‌های پیروکسن و فلدسپار سنگ‌های حاشیه انجام سریع، گابرو و مونزونیت مورد بررسی میکروپروروب الکترونی قرار گرفتند که در جدول ۱ و ۲ آورده شده‌اند.

شیمی پیروکسن‌ها

پیروکسن‌ها تقریباً در کلیه نمونه سنگ‌های آذرین مورد مطالعه دیده شده‌اند. این کانی‌ها بیشتر از نوع اوژیت بوده که البته در سنگ‌های مختلف، تغییرات قابل توجهی از نظر ترکیب شیمیایی از خود نشان می‌دهند. نتایج کمی آنالیز این کانی‌ها به صورت اکسیدهای تشکیل دهنده این کانی همراه با فرمول ساختاری آنها که بر مبنای ۱۶ اکسیژن محاسبه شده است در جدول (۱) آورده شده است. کلیه پیروکسن‌های مورد مطالعه روی نمودار $Q = Ca + Mg + Fe^{2+}$ و $J=2Na$ [10] در قلمرو پیروکسن‌های کلسیم، منیزیم، و آهن دار قرار می‌گیرند (شکل ۳) و به دلیل کمبود سدیم، همه آنها نزدیک به محور Y، بین نقاط $R=1/80$ و $R=2$ متمرکز می‌شوند. مطابق شکل ۴ ترکیب کلینو پیروکسن‌ها در سنگ‌های حاشیه انجام سریع در حد $Wo_{42.41} \text{En}_{41.82} \text{Fs}_{43.32}$ و $Wo_{35.47} \text{En}_{37.39} \text{Fs}_{43.49}$ در گابروها در حد $Wo_{42.41} \text{En}_{44.49} \text{Fs}_{12.25} \text{En}_{14.45}$ و $Wo_{42.41} \text{En}_{44.49} \text{Fs}_{14.85} \text{En}_{27.14}$

در مونزونیت‌ها در حد $W_{0.19.70} E_{n21.31} F_{s45.10} 59.00$ متغیر است.

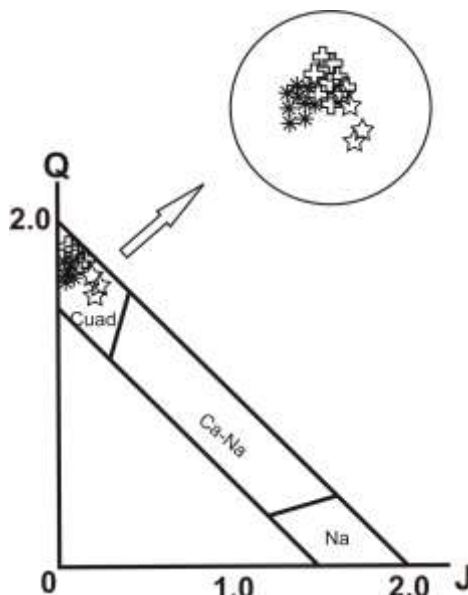
جدول (۱) حدود تغییرات ترکیب شیمیایی و شکل (۴) موقعیت کلینوپیروکسن‌های بخش‌های متفاوت توده نفوذی بنیان سد کرج را در نمودار سه‌تایی ولاستونیت، انستابیت، فروسیلیت [۱۰] نشان می‌دهد. ترکیب پیروکسن در مونزونیت‌ها بیشتر به قطب FS و مرز پیژونیت نزدیک می‌شوند.

شیمی فلدسپارها

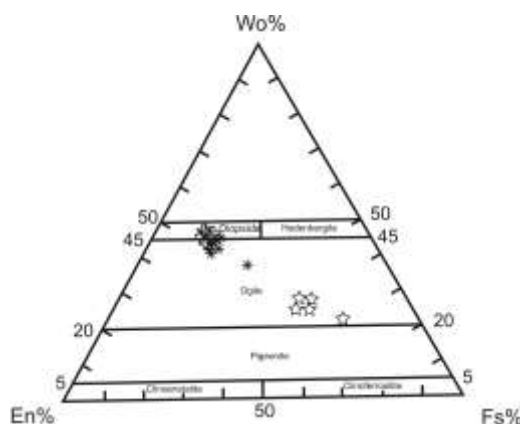
فلدسپار به عنوان اصلی‌ترین کانی سنگ‌های آذرین بنیان سد کرج ظاهر می‌شود.

جدول (۲) مقادیر ترکیب شیمیایی و (شکل ۵) موقعیت فلدسپار واحدهای مختلف مورد مطالعه را در نمودار Ab-An-Or [۱۴] نشان می‌دهد.

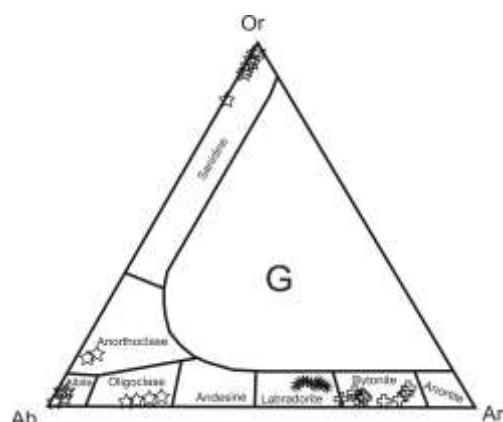
در فلدسپارهای بخش حاشیه انجام‌سریع، میزان آنورتیت از ۵۶/۰ تا ۶۲/۸۱ درصد (لابرادوریت) و در بخش گابرویی از ۶۷/۳۳ تا ۷۷/۸۸ درصد (بیتونیت تا لابرادوریت) تغییر می‌کند. طیف ترکیبی پلاژیوکلازهای موجود در بخش مونزونیتی از الیکوکلاز تا آلبیت متغیر بوده و دارای ۰/۰۱ تا ۲۴/۵۹ درصد آنورتیت است.



شکل ۳ ترکیب پیروکسن سنگ‌های آذرین توده نفوذی منطقه سد کرج در نمودار Q-J [10] که محورهای آن بر حسب تعداد کاتیون در فرمول ساختاری نوشته شده است، تمامی نمونه‌ها در قلمرو پیروکسن‌های کلسیم-منیزیم و آهن‌دار قرار می‌گیرند. علائم: * حاشیه انجام‌سریع بالایی، ☆ مونزونیت و + گابرو.



شکل ۴ موقعیت پیروکسن واحدهای مختلف توده نفوذی منطقه سد کرج در نمودار مثلثی ولاستونیت (Wo) - انساتاتیت (En) - فروسیلیت (Fs) [10]. علائم مانند شکل ۳ انتخاب شده‌اند.



شکل ۵ موقعیت فلدسپار واحدهای مختلف توده نفوذی منطقه سد کرج در نمودار سه تایی ارتوز (Or) - آلت (Ab) - آنورتیت (An) [۹]. علائم مانند شکل ۳ انتخاب شده‌اند.

شیمی سنگ کل عناصر اصلی

عناصر اصلی و کمیاب تعداد چهارده نمونه از انواع مختلف سنگ‌های آذرین منطقه سد کرج مورد آنالیز قرار گرفتند (جدول ۳). مقدار SiO_2 در نمونه‌های مورد مطالعه از ۴۹/۱ درصد در سنگ‌های دولریتی تا ۵۶/۱ درصد در مونزونیت‌ها متغیر است. تغییرات عناصر اصلی و کمیاب در مقابل SiO_2 در شکل ۶ دیده می‌شوند. چنانکه ملاحظه می‌شود یک انتباق منفی بین SiO_2 و Na_2O با K_2O در این مجموعه وجود دارد. شب تغییرات MgO ، FeO و CaO در سنگ‌های حاشیه انجامد سریع و گابرو نسبتاً تند است و دلیل آن مصرف این عناصر در ترم‌های بازیک در ساختار کانی‌هایی نظیر الیوین، کلینوپیروکسن و پلاژیوکلازهای کلسیک است. روند تغییرات این عناصر در

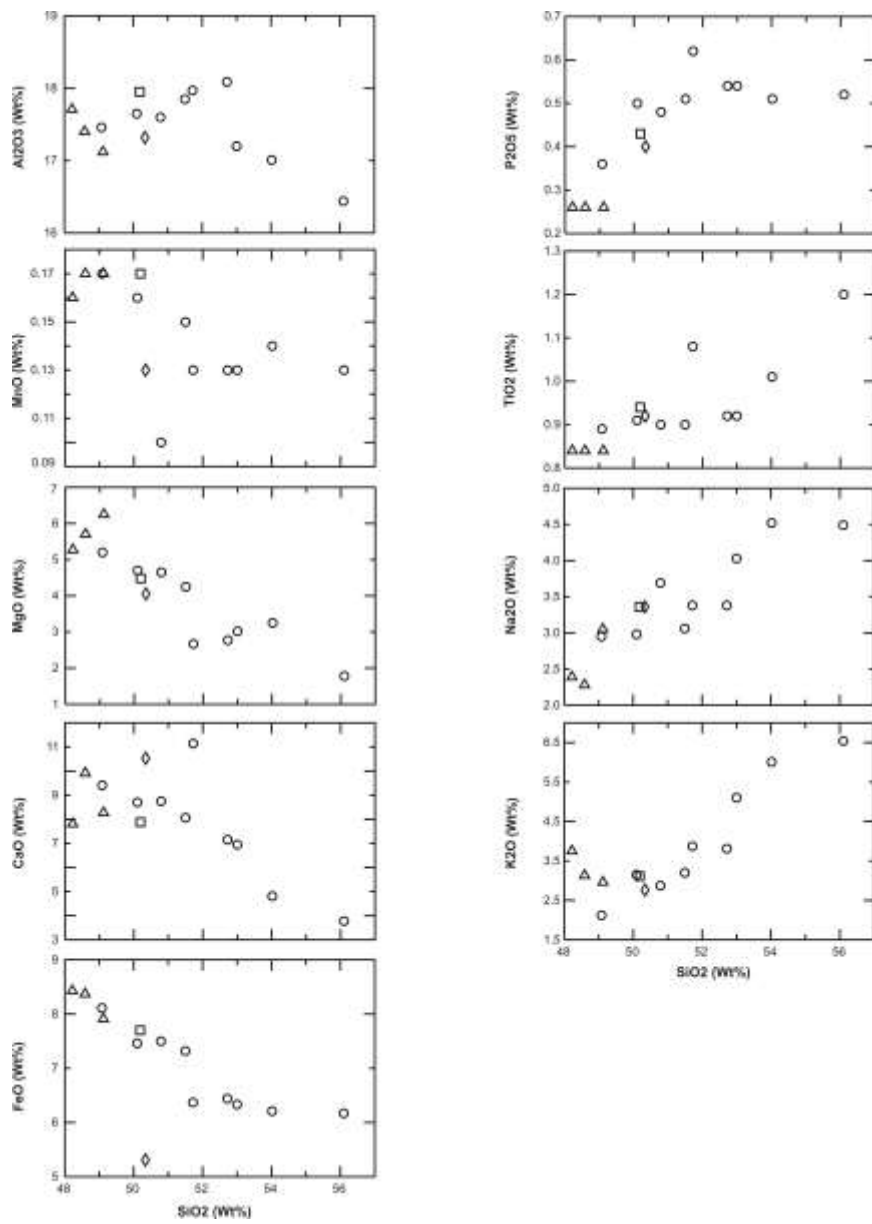
سنگ‌های محصول پایانی تفریق (مونزودیوریت-مونزونیت) به دلیل کم بودن مقدار این عناصر در ماگمای باقیمانده سازنده آنها نسبتاً آرام است. پراکندگی CaO در سه نمونه کمی متفاوت از روند عمومی مورد انتظار است که علت آن احتمالاً در ارتباط با موارد زیر است: یک نمونه مربوط به واحد گابروبی است که تا حدودی در اثر دگرسانی کلسیتی شده است و به همین دلیل مقدار CaO بیشتری را نشان می‌دهد؛ دو نمونه دیگر مربوط به سنگ‌های حاشیه انجاماد سریع اند که نمونه حاشیه انجاماد سریع بالای مقدار نسبتاً زیادتر و نمونه حاشیه انجاماد سریع پائینی مقدار نسبتاً پائین‌تری CaO نشان می‌دهند (برعکس آهن) که علت آن می‌تواند در ارتباط با تفریق گرانشی عنصر کلسیم باشد. Al_2O_3 با افزایش SiO_2 نخست افزایش و سپس کاهش می‌یابد. این امر احتمالاً در ارتباط با تقدم تبلور و تفریق کانی‌های مافیک مثل الیوین و کلینوپیروکسن است که در ادامه به وسیله تبلور و تفریق پلازیوکلارز دنبال شده است. مقدار MnO با افزایش مقدار SiO_2 با شیب ملایمی کاهش می‌یابد ولی در فاز نهایی تبلور نیز حضور دارد که ظاهراً با تبلور کانی‌های آمفیبول و بیوتیت در ارتباط است. در نمودار MnO نسبت به SiO_2 یک نمونه گابروبی خارج از روند مورد انتظار قرار گرفته است که علت آن می‌تواند در ارتباط با دگرسانی سطحی باشد، زیرا در این فرایند MnO به راحتی از سنگ خارج شده و به صورت پیرولوزیت سنگ‌های میزان را به رنگ خاکستری تیره در می‌آورد. چنین حالتی در مسیر جاده چالوس در بخش جنوبی توده مطالعه دیده می‌شود. دامنه تغییرات TiO_2 نسبت به SiO_2 روندی افزایشی نشان می‌دهد. عنصر تیتانیم با شعاع یونی نزدیک به شعاع یونی Fe و Mg می‌تواند جانشین آنها شود و حتی با همارایی ۶ می‌تواند جانشین Al شود. بنابراین انتظار می‌رود که این عنصر در مراحل اولیه انجاماد و تبلور ماگمایی در ساختار کانی‌های مافیک وارد شده و روندی نزولی داشته باشد؛ ولی چنانکه در شکل ۶ دیده می‌شود مقدار TiO_2 نمونه‌های مورد مطالعه، با افزایش SiO_2 افزایش نشان می‌دهد. این پدیده می‌تواند نتیجه فراوانی بیوتیت در سنگ‌های تفریق یافته‌تر (مونزونیت‌ها) باشد، زیرا بیوتیت یک کانی میزان تیتانیم است که انتظار می‌رود سنگ‌های حاوی این کانی، TiO_2 بیشتری داشته باشند. همچنین TiO_2 در ترمehای حدواسط و اسیدی می‌تواند به شکل ایلمینیت و به صورت ورود به درون بیوتیت و آمفیبول یافت شود. حضور ورودیهایی از سوزنها روتیل در بیوتیت نمونه‌های مورد مطالعه مؤید این مطلب است؛ همچنین دگرسانی بیوتیت به کلریت و اسفن و اکسید آهن نیز می‌تواند موجب افزایش Ti در این سنگ‌ها شود.

مقادیر Na_2O و K_2O با افزایش SiO_2 افزایش می‌یابند؛ شیب تغییرات Na_2O در مقایسه با شیب تغییرات K_2O ملایمتر است. بالا بودن مقدار Na_2O در ترمehای اسید به دلیل مشارکت آن در ساختار کانی‌های در دمای پایین مثل آلکالی فلدسپارهای سدیک و بالا بودن مقدار K_2O به دلیل مشارکت آن در ساختار آلکالی‌فلدسپاهای پتاسیک و بیوتیت است.

همچنین روند افزایشی P_2O_5 در مقابل سیلیس می‌تواند مربوط به حضور مقادیر زیاد آپاتیت در سنگهای محصول پایانی تفرق و رفتار ناسازگار فسفر باشد.

جدول ۳ نتایج آنالیز شیمیایی سنگ کل واحدهای مختلف توده نفوذی منطقه سد کرج.
عناصر اصلی بر حسب درصد وزنی و عناصر کمیاب بر حسب ppm است.

Sample	KN-95	KN-94	KN-11	KN-93	KN-92	KN-7	KN-23	KN-14	KN-15	KN-59	KN-16	KN-17	KN-18	KN-20
SiO_2	۴۸,۲۲	۴۸,۰۹	۴۹,۰۸	۴۹,۱۲	۵۰,۱۰	۵۰,۱۹	۵۰,۳۴	۵۰,۷۹	۵۱,۰۵	۵۱,۷۲	۵۲,۷۲	۵۳,۰۰	۵۴,۰۲	۵۶,۱۰
TiO_2	۰,۸۴	۰,۸۴	۰,۸۹	۰,۸۴	۰,۹۱	۰,۹۴	۰,۲	۰,۹۰	۰,۹۰	۱,۰۸	۰,۹۲	۰,۹۲	۱,۰۱	۱,۲۰
Al_2O_3	۱۷,۷۱	۱۷,۴۰	۱۷,۴۶	۱۷,۱۲	۱۷,۶۵	۱۷,۹۵	۱۷,۲۲	۱۷,۶	۱۷,۸۵	۱۷,۹۷	۱۸,۰۹	۱۷,۲۰	۱۷,۰۱	۱۶,۴۴
FeO	۸,۴۳	۸,۳۷	۸,۱۱	۷,۹۱	۷,۴۶	۷,۷۰	۵,۳۱	۷,۵۰	۷,۳۲	۶,۳۷	۶,۴۴	۶,۳۳	۶,۱	۶,۱۷
MnO	۰,۱۶	۰,۱۷	۰,۱۷	۰,۱۷	۰,۱۶	۰,۱۷	۰,۱۳	۰,۱۰	۰,۱۵	۰,۱۳	۰,۱۳	۰,۱۳	۰,۱۴	۰,۱۳
MgO	۵,۷۷	۵,۷۰	۵,۲۰	۶,۲۵	۴,۷۰	۴,۴۸	۴,۰۵	۴,۶۵	۴,۲۵	۲,۶۷	۲,۷۷	۳,۰۲	۳,۲۵	۱,۷۸
CaO	۷,۸۱	۹,۹۱	۹,۴۱	۸,۲۷	۸,۷۰	۷,۸۸	۱۰,۵۳	۸,۷۵	۸,۰۶	۱۱,۱۴	۷,۱۵	۶,۹۵	۴,۸۱	۳,۷۸
Na_2O	۲,۳۹	۲,۲۸	۲,۹۵	۳,۰۵	۲,۹۸	۳,۳۶	۳,۳۶	۳,۶۹	۳,۰۶	۳,۳۸	۴,۰۳	۴,۵۲	۴,۴۹	
K_2O	۳,۷۵	۳,۱۳	۲,۱۲	۲,۹۶	۳,۱۵	۳,۱۱	۲,۷۶	۲,۸۷	۳,۲۰	۳,۸۷	۳,۸۱	۵,۱۰	۶,۰۱	۶,۰۵
P_2O_5	۰,۳۶	۰,۲۶	۰,۳۶	۰,۲۶	۰,۳۰	۰,۴۳	۰,۴۳	۰,۴۱	۰,۵۱	۰,۶۲	۰,۵۴	۰,۵۱	۰,۵۲	
Sum	۹۴,۸۳	۹۶,۶۵	۹۵,۷۴	۹۵,۷۸	۹۶,۳۱	۹۶,۲۱	۹۵,۱۲	۹۷,۳۳	۹۶,۸۰	۹۹,۹۶	۹۷,۲۲	۹۷,۴۹	۹۷,۱۶	
Ni	۳۶,۰۰	۴۰,۰۰	۳۶,۰۰	۳۸,۰۰	۳۴,۰۰	۲۸,۰۰	۳۱,۰۰	۳۵,۰۰	۳۲,۰۰	۱۳	۱۷,۰۰	۱۷,۰۰	۹,۰۰	
Co	۳۱,۰۰	۳۴,۰۰	۲۸,۴۰	۳۱,۰۰	۲۷,۰۰	۲۴,۰۰	۱۵,۰۰	۲۹,۰۰	۱۶,۰۰	۱۵۴	۱۶,۳۰	۱۵,۰۰	۱۳,۰۰	۱,۰۱
Sc	۲۹,۰۰	۳۴,۰۰	۲۸,۰۰	۲۷,۰۰	۲۷,۰۰	۲۷,۰۰	۲۱,۰۰	۵,۰۰	۲۰,۰۰	۳۰	۱۶,۰۰	۱۷,۰۰	۱۶,۰۰	۱۵,۰۰
V	۲۲۳,۰۰	۲۴۹,۰۰	۱۹۵,۰۰	۲۲۲,۰۰	۱۹۸,۰۰	۲۰,۲۰	۱۸,۹۰	۲۰,۱۰	۱۶۳,۰۰	۱۶۸	۱۵۰,۰۰	۱۴۵,۰۰	۱۲۲,۰۰	۱۰,۱۰
Cr	۶۳,۰۰	۷۸,۰۰	۷۷,۰۰	۱۸,۰۰	۵۷,۰۰	۵۳,۰۰	۴۷,۰۰	۸,۰۰	۳۷,۰۰	۱۳	۳۵,۰۰	۳۰,۰۰	۲۱,۰۰	۱۹,۰۰
Zn	۹۶,۰۰	۷۷,۰۰	۷۵,۰۰	۶۶,۰۰	۷۱,۰۰	۰,۰۵	۳۲,۰۰	۷۳,۰۰	۶۱,۰۰	۸۵۴	۶۹,۰۰	۷۰,۰۰	۵۲,۰۰	۴,۰۰
Rb	۱,۱,۰	۲۱,۱	۴۷,۹	۷۳,۴	۷۸,۰	۸,۰	۷۷,۰	۵,۰	۸۷,۰	-	۸۵۶	۹۹,۰	۱۳,۰	۱۴,۱
Ba	۷۴۳,۰۰	۶۰,۲۰	۵۱,۹۰	۸۷,۸۰	۶۹,۹۰	۷۲,۲۰	۵۸,۶۰	۵۱,۲۰	۷۳,۰۰	۶۴۷	۷۳,۵۰	۸۲,۵۰	۹۸,۰	۱۰,۶
Sr	۸۰,۰۰	۶۲,۸۰	۶۰,۶۰	۰,۶۶۷	۶,۰۷	۶,۰۹	۶,۳۲	۵,۸۹	۰,۹۸	۰,۹۸	۵,۸۴	۰,۴۲۵	۰,۲۷۹	۱۸,۴
Ga	۱۵,۰۰	۱۷,۰	۱۷,۰	۱۶,۰	۱۷,۰	۱۷,۰	۱۷,۰	۱۷,۰	۱۷,۰	-	۱۷,۰	۱۶,۰	۱۷,۰	۱۶,۰
Nb	۶,۰۰	۵,۰۰	۷,۰۰	۵,۰۰	۷,۰۰	۷,۰۰	۷,۰۰	۷,۰۰	۹,۰۰	-	۱۰,۰	۱۳,۰	۱۰,۰	۱۸,۰
Hf	۲,۰۰	۲,۰۰	۲,۰۰	۲,۰۰	۲,۰۰	۲,۰۰	۲,۰۰	۲,۰۰	۳,۰۰	-	۳,۰۰	۴,۰۰	۵,۰۰	۵,۰۰
Zr	۶۸,۸۰	۶۷,۳۰	۶۴,۳۰	۵۰,۷۰	۵۸,۰۰	۵۸,۰۰	۶۵,۰۰	۶۶,۰۰	۹۷,۰۰	۲۶,۳	۹۷,۴۰	۱۰,۲	۱۵۶	۱۶,۵
Y	۱۸,۶	۱۹,۳	۲۲,۵	۱۷,۴	۲۲,۹	۲۳,۵	۲۳,۰	۲۲,۰	۲۸,۳	۲۲,۳	۷۷,۹	۳۲,۰	۳۹,۰	۴۴,۳
Th	۲,۲۰	۲,۲۰	۲,۲۰	۲,۱۰	۲,۶۵	۲,۷۰	۲,۴	۲,۳	۶,۰۰	-	۵,۸	۶,۲	۷,۵	۷,۸
U	۱,۷	۱,۰۲	۰,۹۴	۰,۹۰	۰,۹۱	۰,۸۷	۰,۸۷	۰,۹۲	۱,۵۰	-	۱,۵۶	۱,۱۵	۱,۹۰	۲,۱۷
Cs	۰,۴۰	۱,۰۰	۱,۰۵	۰,۷۰	۱,۰	۰,۹۰	۰,۷۰	۱,۰۵	۰,۸۷	-	۰,۹	۰,۹۸	۱,۲	۱,۳
Ta	۰,۵	۰,۵	۰,۵	۰,۵	۰,۵۵	۰,۶	۰,۵	۰,۵	۰,۶	-	۰,۶	۰,۶	۰,۸	۰,۹
La	۱۷,۸	۱۸,۰	۲۱,۱	۱۶,۶	۲۱,۸	۲۲,۲	۲۱,۲	۲۱,۲	۲۸,۶	۲۹,۲	۳۰,۸	۳۴,۳	۴۲,۲	۴۶,۵
Ce	۳۵,۳	۳۴,۷	۴۲,۷	۳۲,۳	۴۳,۳	۴۵,۱	۴۴,۰	۴۲,۵	۵۸,۱	-	۶۱,۳	۶۸,۹	۸۵,۰	۹۶,۷
Nd	۱۷,۶	۱۷,۷	۲۲,۵	۱۶,۴	۲۳,۰	۲۳,۰	۲۲,۰	۲۲,۰	۲۷,۱	-	۲۹,۵	۳۲,۱	۳۹,۰	۴۶,۸
Sm	۴,۱	۴,۱	۴,۹	۲,۶	۵,۰	۵,۰	۵,۰	۴,۸	۶,۱	-	۶,۲	۶,۸	۸,۹	۹,۹
Eu	۱,۴۴	۱,۳۶	۱,۴۷	۱,۲۹	۱,۰۲	۱,۰۴	۱,۴۱	۱,۴۷	۱,۶۸	-	۱,۷۴	۲,۲۲	۳,۹۸	۲,۱
Gd	۴,۷	۴,۳	۵,۳	۴,۰	۵,۰	۵,۰	۵,۰	۵,۰	۶,۲	-	۶,۴	۷,۱	۸,۸	۱,۰۵
Dy	۳,۰	۳,۶	۴,۱۳	۳,۲۹	۴,۰	۴,۲۴	۴,۲۲	۴,۱۵	۴,۹۸	-	۵,۱۳	۶,۱	۷,۹	۸,۲۸
Er	۲,۰۴	۱,۹۹	۲,۵۵	۱,۸۴	۲,۵۹	۲,۵۹	۲,۴۶	۲,۴۹	۲,۸	-	۲,۸	۳,۱	۴,۲۱	۴,۹۵
Yb	۱,۹	۱,۹	۲,۲۰	۱,۷	۲,۴	۲,۵	۲,۳	۲,۱	۲,۷	-	۲,۸	۳,۵۱	۴,۱	۴,۹
Tb	۰,۶	۰,۶	۰,۷۸	۰,۶	۰,۷۷	۰,۷۸	۰,۷۶	۰,۷۸	۰,۹۲	-	۰,۹۵	۱,۰۱	۱,۴۱	۱,۰۳
Ho	۰,۷	۰,۶	۰,۸۴	۰,۸	۰,۸۷	۰,۸۷	۰,۸۳	۰,۸	۰,۹۹	-	۱,۰۱	۱,۰۸	۱,۵۲	۱,۶۹
Tm	۰,۲۹	۰,۲۲	۰,۳۴	۰,۲۷	۰,۲۵	۰,۳۷	۰,۳۶	۰,۳۵	۰,۴	-	۰,۴۲	۰,۴۹	۰,۵۳	۰,۷۲
Lu	۰,۲۰	۰,۲۹	۰,۴۴	۰,۲۸	۰,۴۵	۰,۴۵	۰,۳۸	۰,۴	۰,۴	-	۰,۴۲	۰,۵	۰,۷۵	۰,۸۱
Pb	۳,۰	۶,۰	۹,۰	۶,۰	۸,۰	۷,۰	۷,۰	۸,۰	۱,۱	۶	۱۳,۰	۱۲,۰	۷,۰	۷,۰
Pr	۴,۲۶	۴,۳۲	۵,۳۵	۴,۰	۵,۴۵	۵,۵۶	۵,۶۲	۵,۴۱	۷,۰۲	-	۷,۵	۸,۲	۹,۸۹	۱۱,۷
Rb,Sr	۰,۱۱۳۵	۰,۱۱۳	۰,۱۰۷۹	۰,۱۱	۰,۱۲۸	۰,۱۳۱۴	۰,۱۱۷۱	۰,۱۸۹	۰,۱۳۷۱	-	۰,۱۴۶۶	۰,۱۳۳	۰,۴۶۹۵	۰,۷۶۰۹



◊ شکل ۶ تغییرات اکسیدهای عناصر اصلی نمونه‌های مورد مطالعه نسبت SiO_2 علائم: حاشیه انجام سریع بالایی، □ حاشیه انجام سریع پایینی، △ دولریت، ○ سایر نمونه‌ها.

عناصر کمیاب

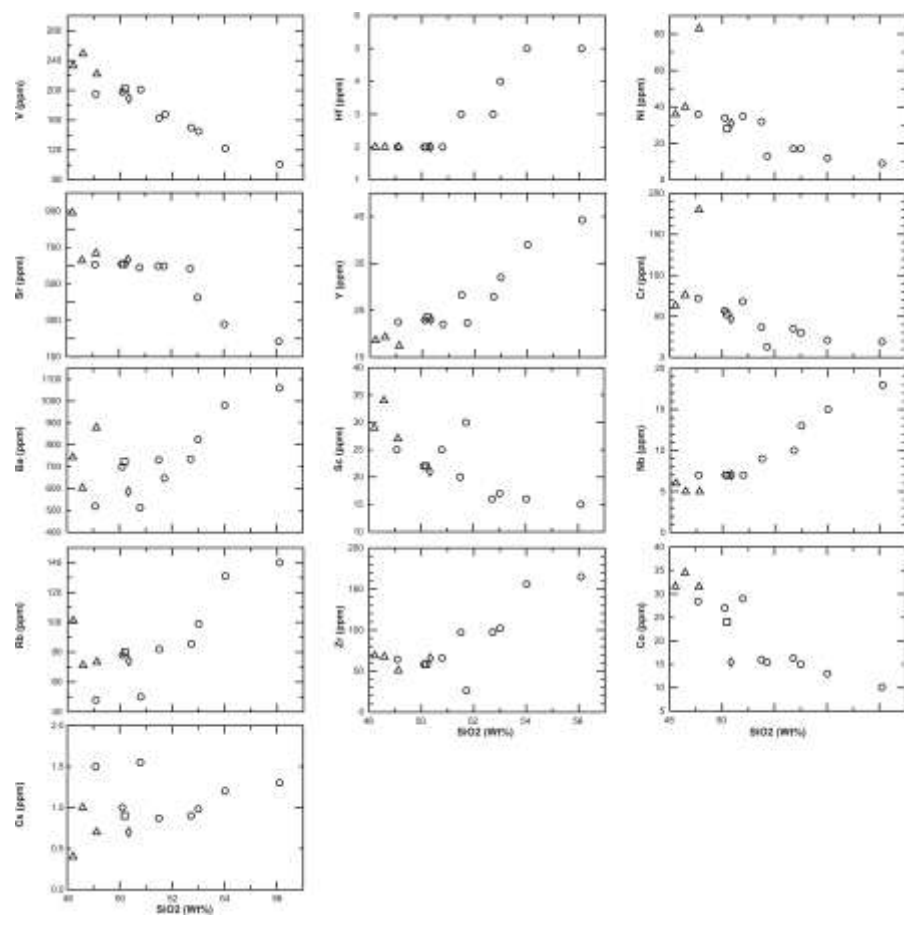
مقادیر عناصر کمیاب در جدول ۳ و تغییرات آنها در مقابل SiO_2 در نمودارهای هارکر در شکل ۷ نشان داده شده‌اند. تغییرات عناصر Y , Nb , Cs , Zr , Ba , Rb , Sr و Hf تطابق مثبتی با تغییرات SiO_2 نشان می‌دهد و مقادیر آنها به ترتیب از گابریو به دیوریت و سپس به مونزونیت افزایش می‌یابد. مقدار استرانسیم از ۱۸۴ ppm تا ۸۹۰ ppm در سنگهای آذرین مورد مطالعه تغییر می‌کند. اندازه یونی استرانسیم نشان می‌دهد که این عنصر می‌تواند هم جانشین کلسیم و هم جانشین پتاسیم شود، بدین ترتیب که در کانی‌های کلسیم‌دار به صورت پذیرفته شده (به خاطر شعاع یونی بزرگتر) و در کانی‌های پتاسیم‌دار به صورت اسیر شده (به خاطر بار بیشتر)، حضور می‌یابد. فرآیند غالب خارج کردن استرانسیم از ماغما، پذیرفته شدن آن به جای کلسیم است [۱۱]. تغییرات مشابه Sr با CaO در نمونه‌های مورد مطالعه (شکل ۸) نشان دهنده جانشینی Sr در ساختمان پلاژیوکلازها است. چنانکه ملاحظه می‌شود در مقادیر تقریباً کمتر از ۷٪ CaO تطابق خوبی بین Sr و CaO دیده می‌شود و در مقادیر بالاتر CaO مقدار Sr ثابت مانده است که دلیل آن می‌تواند با تقدم تبلور پیروکسن‌های کلسیم‌دار در آغاز تبلور، و میزان کمتر تبلور پلاژیوکلاز که هر دو میزان اصلی Sr هستند، مربوط باشد.

مقدار Ba در سنگهای آذرین مورد مطالعه از ۵۱۲ ppm تا ۱۰۶۰ ppm تغییر کرده و روی هم رفته روندی افزایشی را در مقابل SiO_2 نشان می‌دهد. این عنصر جزء عناصر لیتوفیل بزرگ یون (LIL) است و بسیار متحرک و ناسازگار است ($Kd < 1$) و نمی‌تواند در سنگهای آذرین کانی مستقلی را تشکیل دهد [۱۱]. از آنجاکه این عنصر در شبکه سیلیکات‌های گرمایی بالا شرکت نمی‌کند، بنابراین مقدار آن همواره طی تفریق ماغمایی افزایش می‌یابد و به همراه پتاسیم در فازهای پایانی وارد ساختمان آلکالی فلدسپارها و بیوتیت و تا حدودی هورنبلند می‌شود [۱۲]. در نمونه‌های مورد مطالعه نیز تغییرات Ba شبیه Ca بوده (شکل ۶ و ۷) و این عنصر احتمالاً در ساختار پلاژیوکلازها وارد شده است.

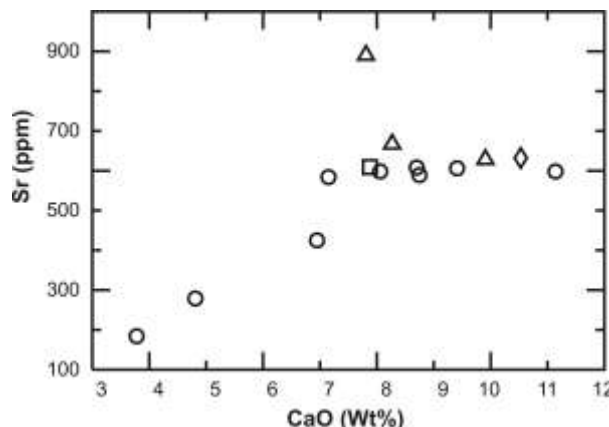
مقدار Rb از ۴۷ ppm تا ۱۴۰ ppm تغییر کرده و مانند Ba تطابق مثبت با SiO_2 نشان می‌دهد. شبیه مثبت این نمودار (شکل ۷) نشانگر افزایش این عنصر طی روند تفریق است. روند افزایشی Rb با K_2O (شکل ۹) می‌تواند نشان دهنده جانشینی Rb در ساختار آلکالی فلدسپار باشد.

مقدار Zr از ۲۶ ppm تا ۱۵۶ ppm تغییر کرده و روندی افزایشی در مقابل SiO_2 نشان می‌دهد. زیرکنیم جزء عناصر لیتوفیل با بار یونی زیاد (HFS) و کم تحرک

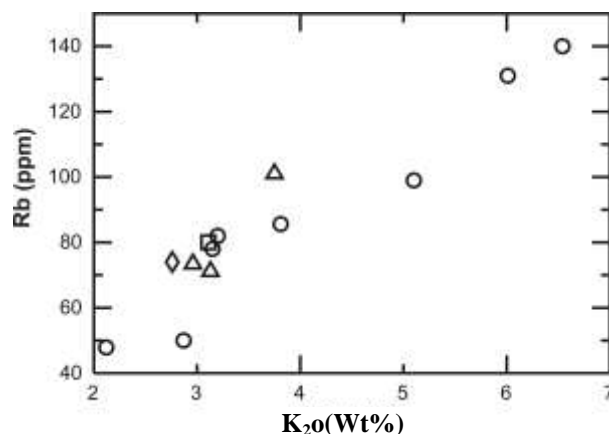
است و با $Kd < 1$ جزء عناصر ناسازگار است [۱۱] به طور کلی مقدار زیرکنیم در نمونه‌های مورد مطالعه با پیشرفت روند تفریق افزایش می‌یابد (شکل ۷). مقدار Y روندی افزایشی در مقابل SiO_2 نشان می‌دهد. این عنصر شبیه عناصر نادر خاکی سنگین (HREE) رفتار کرده و در آمفیبول، و به مقدار کمتر در پیروکسن وارد می‌شود [۱۱]. حضور آن در فازهای فرعی از قبیل اسفن و آپاتیت نیز می‌تواند روی فراوانی این عنصر تأثیر بگذارد. شبیث مثبت آن احتمالاً در ارتباط با حضور کانی‌های فرعی از قبیل آمفیبول، اسفن و آپاتیت در فازهای انتهایی تفریق است. Ni , Co , V و Sc رفتار ژئوشیمیایی عناصر سازگار از خود نشان داده و با SiO_2 یک تطابق منفی نشان می‌دهند که مؤید روند تفریق است.



شکل ۷ تغییرات عناصر کمیاب نمونه‌های مورد مطالعه نسبت SiO_2 . عالم مشابه شکل ۶ انتخاب شده‌اند.



شکل ۸ نمودار CaO-Sr نمونه‌های مورد مطالعه. علائم مشابه شکل ۶ انتخاب شده‌اند.



شکل ۹ نمودار K₂O-Rb نمونه‌های مورد مطالعه. علائم مشابه شکل ۶ انتخاب شده‌اند.

بحث

شواهد شیمی-کانی‌شناسی تفریق

کلینوپیروکسن‌های انواع مختلف سنگ‌های آذرین بنیان سد کرج شباهت‌های بسیاری با یکدیگر دارند و همه آنها در قلمرو پیروکسن‌های کلسیم، منیزیم و آهن دار و در محدوده اوزیت-دیوپسید قرار می‌گیرند. از سنگ‌های حاشیه انجاماد سریع و گابروها به سمت سنگ‌های مونزونیتی به پیروی از افزایش درجه تفریق، فراوانی عناصر اصلی کلینوپیروکسن‌ها دستخوش تغییرات منظم و تدریجی می‌شود. کلینوپیروکسن‌های موجود در سنگ‌های حاشیه انجاماد سریع و گابرو در مقایسه با مونزونیتها از عناصر Ca, Al, Ti, Mg غنی‌تر و از Fe فقیرتر هستند.

علت کم بودن TiO₂ پیروکسن مونزونیتها نسبت به گابروها و نمونه‌های حاشیه انجاماد سریع با فراوانی بیشتر کانی‌های تیتانیم دار نظیر تیتانومنیت در مونزونیتها

می‌تواند قابل توجیه باشد. به عبارت دیگر تبلور تیتانومنیتیت بیشتر در مونزونیت‌ها باعث خروج Ti از ماغما و فقر این عنصر در پیروکسن‌های همزیست با آن‌ها شده است. کاهش Al_2O_3 در پیروکسن مونزونیت‌ها نسبت به سنگ‌های حاشیه انجام‌داد سریع و گابروها نیز مربوط به فراوانی کانی‌های آلومینیم‌دار نظیر پلازیوکلاز در مونزونیت‌های است، زیرا با تبلور پلازیوکلاز، Al موجود در ماغما وارد شبکه این کانی شده و لذا پیروکسن‌های همزیست با این کانی از Al_2O_3 فقیرتر شده‌اند؛ در حالی که پیروکسن گابروها پیش از تبلور پلازیوکلازها، و بنابرین زمانی که ماغما غنی از Al بوده است متبلور شده‌اند. افزایش مقدار Na_2O پیروکسن مونزونیت‌ها در مقایسه با سنگ‌های حاشیه انجام‌داد سریع و گابروها نیز مربوط به ناسازگاری Na در ماغماست که طی تفریق میزان این عنصر در ماغمای تحول یافته، افزایش یافته و در نتیجه این عنصر توانسته است تا حدی وارد شبکه پیروکسن شود.

فلدسپار نمونه‌های گابرویی در محدوده بیتونیت و لابرادوریت، نمونه‌های حاشیه انجام‌داد سریع در محدوده لابرادوریت و نمونه‌های مونزونیتی در محدوده الیگوکلاز و آلبیت قرار می‌گیرند. این تغییرات نشان دهنده کاهش کلسیم از سنگ‌های گابرویی به نمونه‌های مونزونیتی است که با روند تفریق ماغما از گابروها به مونزونیت‌ها تطابق دارد.

معمول‌ترین ساز و کار تفریق جدایش بلورها به روش تهنشست گرانشی است. به طور کلی ماغماها در دمای یکسان در حدود ده درصد سبکتر از کانی و یا سنگ معادل خود هستند [۱۲]، به همین دلیل احتمال تهنشست بلورهای تشکیل شده بیش از احتمال شناور ماندن آنهاست. با وجود این، اختلاف چگالی تنها عامل تعیین کننده در سرعت تهنشست و ترتیب تهنشستی بلورها نیست بلکه عوامل مهم دیگری مانند قطر بلورها، گرانروی ماغما، نرخ تبلور، سرعت سرد شدن وجود یا فقدان جریان‌های همرفتی نیز باید مورد توجه قرار گیرند. به علاوه تفریق ممکن است به روش انتشار گرمایی، انتشار گرانشی، جریان ماده آبگون، پالایش فشاری، هسته‌بنده انتخابی، و ناما میختگی شاره‌ها نیز به وقوع پیوندد [۱۳]. در مجموعه سنگ‌های مورد مطالعه مهم‌ترین ساز و کار تفریق، جدا شدن فاز بلورین است. اما بعضی از نمودارها مؤید تفریق به روش انتشار گرانشی نیز هستند، به عنوان مثال مقایسه تغییرات آهن و منیزیم در نمونه‌های حاشیه انجام‌داد سریع پائینی و بالایی و نیز تغییر مقدار منیزیم در پیروکسن‌های این دو گروه از سنگ‌ها، نشان می‌دهند که بین عناصر آهن و منیزیم در کرانه بالایی و پائینی یک تفریق صورت گرفته است، به طوریکه سنگ‌های کرانه بالایی از منیزیم و سنگ‌های کرانه پائینی از آهن سرشارترند. این امر نشان می‌دهد که پیش از تبلور ماغما، عنصر سنگین آهن به روش انتشار گرانشی به

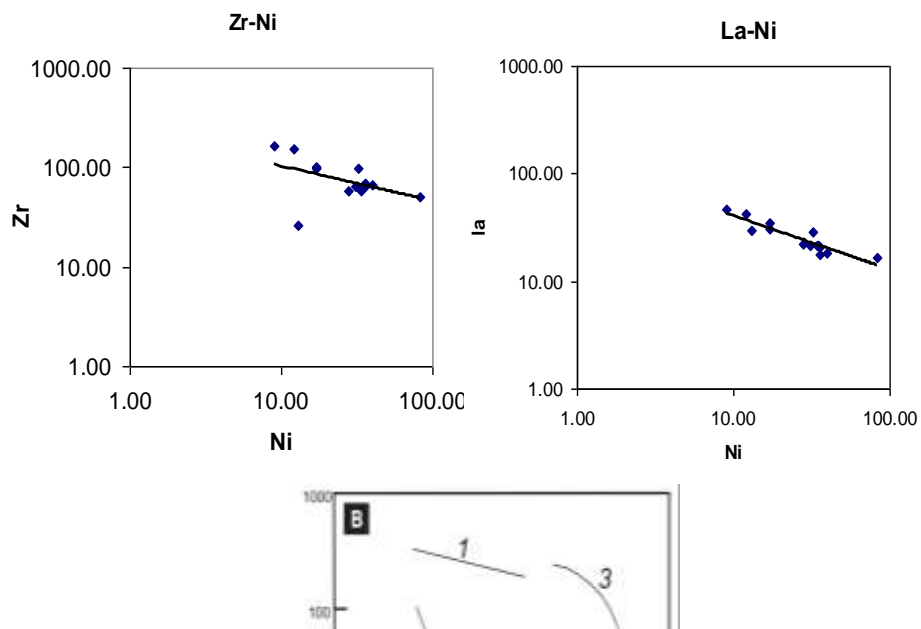
بخش‌های پائینی سقوط کرده و در واقع یک نوع تغیریق به روش انتشار گرانشی رخ داده است.

شواهد شیمی سنگ کل تغیریق

اخیراً فرایند تغیریق به طور گستردگی مورد توجه قرار گرفته است ([۱۴]، [۱۵]، [۱۶]، [۱۷]، [۱۸]). به طور کلی تغییرات عناصر اصلی و کمیاب در مقابل SiO_2 نمونه‌های مورد مطالعه، نشان دهنده یک ارتباط زایشی در سنگ‌های آذرین مختلف مورد مطالعه‌اند. اما این تغییرات (نمودارهای هارکر) به راحتی قادر نیستند فرایندهای حاکم بر فرایندهای ماغمایی را بخوبی تشخیص ذوب بخشی از تبلور بخشی و یا اختلاط ماغمایی را به نمایش گذارند [۱۹] و [۲۰]. به عنوان مثال در هر دو فرایند ذوب و تبلور بخشی با افزایش SiO_2 ، اکسیدهای MgO و CaO و عناصر سازگاری از قبیل V , Sc , Ni در حالت مذاب به تدریج کاهش و اکسیدهای K_2O و Na_2O و عناصر ناسازگار Rb , Th , Zr افزایش می‌یابند و عملاً در این خصوص تفاوت روشنی بین فرایند ذوب و تبلور بخشی دیده نمی‌شود. در عوض شدت تغییرات عناصر سازگار و ناسازگار طی فرایند ذوب و تبلور بخشی متفاوت است. در فرایند ذوب بخشی عناصر ناسازگار بیشترین تغییرات را از خود نشان داده و عناصر سازگار تقریباً بدون تغییر باقی می‌مانند، در صورتی که در فرایند تبلور بخشی به دلیل اینکه عناصر سازگار تمایل شدیدی برای ورود به ساختار کانی‌ها را دارند لذا تغییرات این عناصر شدید ولی عناصر ناسازگار تقریباً بدون تغییر باقی می‌مانند.

آلین کوشیری [۱۴] با تکیه بر مطالب بالا و با استفاده از نمودارهای لگاریتمی، روشی برای تشخیص سه فرایند مهم ذوب بخشی، تبلور بخشی و اختلاط ماغمایی ارائه کرد. در این روش از یک عنصر کمیاب کاملاً ناسازگار (مانند Rb و Th ، یا Zr) در محور قائم نسبت به یک عنصر کاملاً سازگار (Sc , Ni , Co , ...) در محور افقی، استفاده می‌شود. اگر نقاط نماینده نمونه‌ها، یک خط راست و تقریباً افقی باشد، به احتمال قوی تبلور بخشی و اگر یک خط راست و تقریباً قائم حاصل شود، ذوب بخشی و در صورتی که روند تغییرات طوری باشد که با افزایش در جهت X ها و Y ها یک منحنی کاو تشکیل شود فرایند مؤثر در فرایند ماغما به احتمال قوی اختلاط ماغمایی بوده است.

در شکل (۱۰) نمودارهای $\text{LogZr}-\text{LogNi}$ و $\text{LogLa}-\text{LogNi}$ مجموعه نمونه‌های سنگ‌های آذرین بنیان سد کرج آورده شده‌اند. چنانکه ملاحظه می‌شود روند نمونه‌های مورد مطالعه نشان دهنده تبلور بخشی هستند.



شکل ۱۰ نمودار لگاریتمی عناصر سازگار نسبت به عناصر ناسازگار نمونه‌های مورد مطالعه، Zr-Ni (B)، La-Ni (A) و (C) نمودار کوشیری [14]. منحنی‌های a و b و c در نمودار C به ترتیب نشان دهنده فرایندهای ذوب بخشی، تبلور بخشی و اختلاط ماگمایی هستند.

برداشت

پس از پایان آتشفشانی ائوسن، مخزن ماگمایی پر شده در زیر حوضه تهنشستی-آتشفشانی سازند کرج نخست به صورت استوک دولریتی در این سازند نفوذ کرده و سپس در جریان پیشرفت چین خوردگی لایه‌های مذکور در منطقه به صورت یک توده نفوذی بین اعضای توف میانی و بالایی در تراز شیل آسارا تزریق شده است. این توده نفوذی در حاشیه‌های پایینی و بالایی دستخوش انجاماد سریع شده و سبب تشکیل بافت پرفیری مشخصی در این سنگ‌ها شده است. حاشیه انجاماد سریع نامبرده موجب شد تا ماگما بتواند به آرامی سرد شده و فرست کافی برای ایجاد یک توالی تفریقی مشخصی را از گابرو در پائین به دیوریت و سپس مونزونیت در بالا فراهم آورد. گذر از هریک از این بخشها به دیگری کاملاً تدریجی بوده و شواهد شیمی سنگ کل و شیمی کانی‌ها نیز آنرا تأیید می‌نمایند. افزایش مقدار منیزیم (Mg^+) پیروکسن‌ها، درصد آنورتیت پلاژیوکلازها و تغییرات سریع عناصر سازگار (مانند ... Ni, V,...) در مقابل عناصر ناسازگار (مانند Th, Rb,...) از پایین به بالای توده مؤید عملکرد این فاز تفریقی است.

بر اساس آنالیزهای میکروپروب الکترونی، پیروکسن نمونه‌های مورد مطالعه در کران چائیده بالایی از منیزیم و در حاشیه پائینی از آهن سرشمارند. این امر نشان می‌دهد که تفریق به روش انتشار گرانشی عناصر در ماقماهی همگن اولیه پیش از تشکیل حاشیه انجام داد سریع رخ می‌دهد و موجب بالا رفتن نسبت آهن به منیزیم در کران چائیده پائینی نسبت به کرانه بالایی شده است، اما با توجه به تغییر ترکیب مجموعه سنگ‌های منطقه مورد مطالعه از گابرو در پایین به دیوریت و مونزودیوریت و سپس مونزونیت در بالا، ساز و کار اصلی تفریق به خصوص با توجه به شکل خاص توده، تفریق به روش جدایش بلورها بوده است.

تشکر و قدردانی

هزینه این پژوهش از محل طرح تحقیقاتی شماره ۵۱۲/۴/۶۳۵ مصوب شورای پژوهشی دانشگاه تهران تامین شده است که بدینوسیله از آن شورای محترم تشکر و قدردانی می‌شود. همچنین از جناب آقای دکتر محمود صادقیان عضو محترم هیئت علمی دانشگاه صنعتی شاہرود که آنالیزهای میکروپروب الکترونی را در فرانسه انجام داده است صمیمانه سپاسگزاریم.

مراجع

- [1] Riviere A., "Remarque sur la stratigraphie de la base de L, Elbourz Central: c.r.scanc", Acad. Sci.paris, 192 (1931), 1246-1247.
- [2] Bailley E.B., jones R.C.B., Asfia S, "Notes on the geology of the Elburz Mountains, northeast of Tehran, Iran", Q. J. Geol. Soc. London. 104, pt.1,no.413, (1948) 1-42.
- [3]Ganser A., Huber H., "Geological observations in the central Elburz, Iran, Schweiz miner. Petrogy", Mitt. 42(2) (1962) 583-630.
- [4] Dellenbach J., "Contriboution a letude geologique de la region situee a L'est de Tehran (Iran)", Fac. Sci. Univ. strassburg (France) (1964) 117.
- [5] زرعیان س، فیاض ح، "بررسی کانی شناسی سنگ‌های بلورین/ایران"، مجله علوم دانشگاه تهران، شماره ۹۰۷ (۱۳۴۳) ص ۴۷-۴۷
- [6] Dedval E., "Zur Geologie des mittleren und unteren karaj Tales, zental Elburz (Iran)", mitt. Geol. inst. E. T. H. U. univ. Zurrich, n.s. 76 (1967) 125.
- [7] ولی‌زاده م.و، "بررسی پتولوژی توده آذرین بنیان سد کرج"، مجله علوم دانشگاه تهران، جلد ۱۶، شماره ۱ و ۲ (۱۳۶۶) ص ۲۷-۵

- [۸] نورالهی ز، ”پترولوزی و ژئوشیمی توده نفوذی بنیان سد کرج“، پایان نامه کارشناسی ارشد، دانشکده علوم دانشگاه تهران (۱۳۸۳) ۱۳۰ صفحه.
- [۹] Deer W.A., Howie R.A., Zussman J., "An introduction to the rock-forming minerals", Longnan, New york, ISBN 0-470-20516-4(USA) (1992).
- [10] Morimoto N., Fabries J., Ferguson A.K., Ginzburg I.V., Ross M., Seifert F.A., Zussman J., Akoi K., Gottaridi, G., "Nomenclature of pyroxenes", Mineral. Mag. 65 (1988) 1-28.
- [11] Rollinson H.R., "Using geochemical data" Evalution, presentation, interpretation", London unwin Hyman (1993).
- [12] Philpotts A.R., "Principles of igneous and metamorphic petrology", (1990) 384-387.
- [13] Wilson M., "Igneous Petrogenesis", London unwin Hyman 466p (1989).
- [14] Cocherie A., "Systematic use of trace element distribution pattern in Lg-Log diagrams for plutonic suite", Geochemica and cocomochemica Ata, 50 (1986) 2517-2522.
- [15] Fu-yuan Wu., Bor-ming J., Simon A., Wilde Ching-Hua Lo., Tzen-Fu Yui Qiang L., Wen-chun G., De-you S., "Highly fractionated I-type granites in NE China (II): isotopic geochemistry and implications for crustal growth in the Phanerozoic", Lithos 67, Issues 3 (2003) 191-204.
- [16] Fu-yuan Wu., De-you S., Bor-ming J., Wilde S., "A Jurassic garnet-bearing granitic pluton from NE China showing tetrad REE patterns", J. of Asian Earth Sciences, 23 Issue 5 (2004) 731-744.
- [17] Olivier F., Nicolas C., Stéphane B., Daniel D., "Emplacement processes and cooling history of layered cyclic unit II-7 from the Lovozero alkaline massif (Kola Peninsula, Russia)", Lithos, (2005) In Press.
- [18] Philippe M., François B., Henriette L., Hans-Rudolf P., "Modeling of in-situ crystallization processes in the Permian mafic layered intrusion of Mont Collon (Dent Blanche nappe, western Alps)", Lithos, (2005) In Press.
- [19] F. Bea G.B., Fershtater P., Montero V.N., Smirnov J.F., "Deformation-driven differentiation of granitic magma: the Stepninsk pluton of the Uralides, Russia", Lithos 81,Issues1-4,(2005)209-233.
- [20] Takeshi K., "Magmatic differentiation examined with a numerical model considering multicomponent thermodynamics and

momentum, energy and species transport", Lithos 74, Issues 3-4 (2004) 117-130.